

テーパーの著しくついているアーチに関する力学的研究

(応力変形の解析)

名古屋工業大学 松浦 聖

まえがき

例えばいわゆるバスケット・ハンドル橋に関する、基本的な考察として、テーパーの著しく、ついているアーチに関する力学的研究に関連して、ここでは等分布荷重（材軸に沿つて一定）がアーチの面内中心方向に満載される場合と、鉛直方向に満載される場合とに対して、円弧アーチに生ずる応力変形を計算したものである。なおアーチ断面としては円形パイプ構造を考えることにした。

計算は2つの主構アーチが一体となつていて、その中央のところでの内力を不静定力（ m 、 T ）（図-5参照）として考え、アーチ主構面内に関する変形と、その面に垂直方向の変形（ネジレを伴う）とを、それぞれ変位で表わした釣合いの式を解いて求め、かつスパン中央でのいわゆる相対変位は無いことに注目して、所要アーチの応力変形を見いたしました。

1. アーチと座標のとり方

計算の対象としたアーチは、図-1、図-2のように2本のアーチは中央で一体となつており、かつ傾斜角 ϕ なるテーパーがついている。

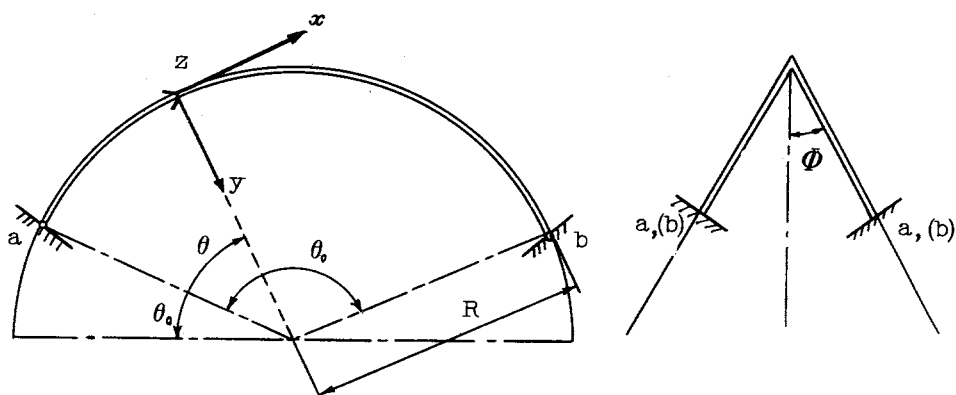


図-1

支点としては、一応 a 、 b 、 \bar{a} 、 \bar{b} 、点でのアーチ面内の廻転のみが自由の場合を考えておく。座標の中心はアーチ部材断面に座標系を固定し、その原点は剪断中心、この場合断面の中心にとる。 x 軸は橋軸接線方向に、 y 軸はアーチ曲率中心方向に z 軸は x y 面に垂直方向に、図-1のごとく正を定めることにする。

2. 変位の符号（正）および断面力の符号の定義

（図-3、図-4、を参照）

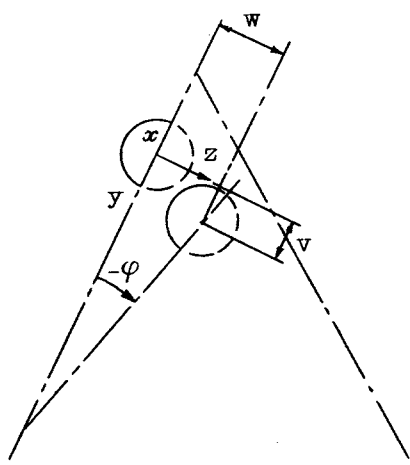


図-3

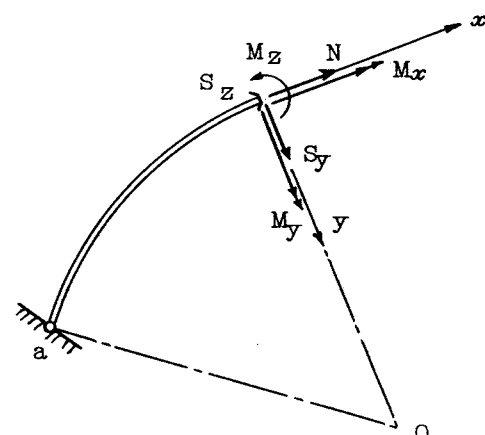


図-4

u 、 v 、 w はそれぞれ、 x 方向、 y 方向、 z 方向の変位で、その符号は座標の正の方向と一致して考える。 φ はねじり廻転でねじりモーメント（図-4 参照）の正の方向と同じにとる。

3. 応力歪関係式

$$(3.1) \quad M_x = G J T \left(\frac{d\varphi}{ds} + \frac{1}{R} \frac{dw}{ds} \right)$$

$$(3.2) \quad M_y = -E I_y \left(\frac{du}{ds^2} + \frac{\varphi}{R} \right)$$

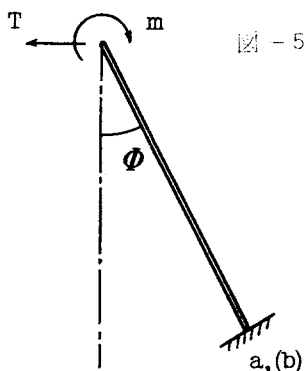
$$(3.3) \quad M_z = -E I_z \left(\frac{dv}{ds^2} + \frac{w}{R} \right)$$

$$(3.4) \quad N = E A \left(\frac{du}{ds} - \frac{v}{R} \right)$$

ここで $G J T$ はアーチの x 軸まわりのねじり剛性、 $E I_y$ はアーチの y 軸まわりの曲げ剛性、 $E I_z$ はアーチの z 軸まわりの曲げ剛性で、 A はアーチの横断面積である。

4. アーチの中央の剛節構造に関する考慮

以下の計算では一応構造物および負載される荷重の対称性より、 T 、 m を考えておけば充分である。



5. アーチに鉛直方向に分布荷重（橋軸に沿つて烈度 p ）が負載される場合の応力・変形

(1) 約合条件； —

$$(5.1.1) \quad S_{\phi} = \frac{dN}{d\theta} - R \cdot P \cos \phi \left(\sin \frac{\theta}{2} \cos \theta - \cos \frac{\theta}{2} \sin \theta \right)$$

$$(5.1.2) \quad \frac{dS_{\phi}}{d\theta} + N = -R \cdot P \cos \phi \left(\cos \frac{\theta}{2} \cos \theta + \sin \frac{\theta}{2} \sin \theta \right)$$

$$(5.1.3) \quad \frac{dM_{\phi}}{d\theta} = -P \sin \phi R$$

$$(5.1.4) \quad S_{\phi} = \frac{1}{R} \frac{dM_{\phi}}{d\theta}$$

$$(5.1.5) \quad M_{\phi} = \frac{dM_{\phi}}{d\theta}$$

$$(5.1.6) \quad S = \frac{1}{R} \frac{dM_{\phi}}{d\theta} + \frac{M_{\phi}}{R}$$

(2) アーチの面内変形に対する弾性曲線方程式の解； —

(5.1.1)、(5.1.2)、(5.1.4) 式と (3.3)、(3.4) 式を考慮すれば次式 (5.2.1)、(5.2.2) を得る。

$$(5.2.1) \quad \frac{EA}{R} \left(\frac{du}{d\theta} - \frac{dv}{d\theta} \right) + \frac{EI_z}{R^2} \left(\frac{dv}{d\theta} + \frac{du}{d\theta} \right)$$

$$= + R P \cos \phi \left(\sin \frac{\theta_0}{2} \cos \theta - \cos \frac{\theta_0}{2} \sin \theta \right)$$

$$(5.2.2) \quad - \frac{EI_z}{R^2} \left(\frac{dv}{d\theta} + \frac{du}{d\theta} \right) + \frac{EA}{R} \left(\frac{du}{d\theta} - dv \right)$$

$$= RP \cos \phi \left(\cos \frac{\theta_0}{2} \cos \theta + \sin \frac{\theta_0}{2} \sin \theta \right)$$

ここで $\frac{EA}{R} \equiv F_1$, $\frac{EI_z}{R^2} \equiv F_z$ とおけば、結局変位 u , v は次式 (5.2.3) , (5.2.4) のように求められる。

$$(5.2.3) \quad u = + \frac{F_1^2}{F_1^2 + F_z^2} \left\{ -2C_2 \cos \theta - 2C_4 \sin \theta + \frac{1}{4} \times \right. \\ \left. (-f_1 \cos \theta + f_2 \sin \theta) + \frac{\theta}{2} (f_1 \sin \theta + f_2 \cos \theta) \right\} \\ + C_1 \sin \theta + C_2 (\cos \theta + \theta \sin \theta) - C_3 \cos \theta + C_4 (\sin \theta - \theta \cos \theta) \\ + C_5 \theta + C_6 - \frac{f_1}{8} \{ 2 \theta \sin \theta - (\theta^2 - \theta) \cos \theta \} - \frac{f_2}{8} \{ 2 \theta \cos \theta + (\theta^2 - 2) \sin \theta \}$$

$$(5.2.4) \quad v = (C_1 + C_2 \theta) \cos \theta + (C_3 + C_6 \theta) \sin \theta + C_5 - \frac{\theta^2}{8} (f_1 \sin \theta + f_2 \cos \theta)$$

$$\text{ここで } f_1 \equiv + \frac{2RP \cos \phi}{F_1^2} \sin \frac{\theta_0}{2}, \quad f_2 \equiv + \frac{2RP \cos \phi}{F_2^2} \cos \frac{\theta_0}{2} \text{ で}$$

C_1, C_2, \dots, C_6 は積分常数

(3) 積分常数の決定 ; ——

境界条件としては、次の6つを考えておくこととする。

$$(5.3.1) \quad (v)_{\theta=0} = 0, \quad (5.3.2) \quad (M_z)_{\theta=0} = 0$$

$$(5.3.3) \quad \left(\frac{dv}{d\theta} \right)_{\theta=\frac{\theta_0}{2}} = 0 \quad (5.3.4) \quad (u)_{\theta=0} = 0$$

$$(5.3.5) \quad (u)_{\theta=\frac{\theta_0}{2}} = 0 \quad (5.3.6) \quad v + (N)_{\theta=0} \frac{\cos \bar{\theta}_0 - \cos \theta_0}{\sin \bar{\theta}_0} = 0$$

v はアーチの面内鉛直反力、以上の境界条件より、いま $\theta_0 = 100^\circ$, $\phi = 15^\circ$ の場合を考えると、積分常数は次のようになる。

$$C_1 = -C_5 = \frac{1.5879 \quad 165F_1 + 8.2194 \quad 33F_2}{\alpha} R p -$$

$$- \frac{0.2054 \quad 1854F_1 + 0.4507 \quad 580F_2}{\alpha} T$$

$$C = - \frac{0.5299 \quad 830F_1 + 1.3817 \quad 91F_2}{\alpha} R q$$

$$+ \frac{0.0333 \quad 9193F_1 - 0.4833 \quad 267F_2}{\alpha} T$$

$$C_3 = + \frac{0.5285 \quad 841F_1 + 3.7602 \quad 50F_2}{\alpha} R p$$

$$- \frac{0.0314 \quad 377F_1 + 0.0912 \quad 495F_2}{\alpha} T$$

$$C_4 = + \frac{0.9312 \quad 145F_1 + 5.2691 \quad 77F_2}{\alpha} R p$$

$$- \frac{0.1027 \quad 0.927F_1 + 0.2253 \quad 790F_2}{\alpha} T$$

$$C_6 = + \frac{1.3857 \quad 183F_1^2 + 7.172808F_1F_2 + 3.7602 \quad 50F_2^2}{F_1 \alpha} R p$$

$$+ \frac{-0.648 \quad 296F_1^2 + 0.4588 \quad 611F_1F_2 - 0.9666 \quad 534F_2^2}{F_1 \alpha} T$$

$$\alpha ; F_2 (0.8842 \quad 618F_1 + 7.4697 \quad 26F_2)$$

(4) アーチの面内変形に対する弾性曲線の方程式の解；――

(5.1.3) , (5.1.5) , (5.1.6) 式と (3.1) , (3.2) を考慮して次の
(5.4.1) , (5.4.2) を得る。

$$(5.4.1) \quad \frac{GJ_T}{R} \frac{d^2\varphi}{d\theta^2} + \frac{GJ_T}{R^2} \frac{d^2w}{d\theta^2} + \frac{EI_y}{R^2} \frac{d^2w}{d\theta^2} - \frac{EI_y}{R} \varphi = 0$$

$$(5.4.2) \quad - \frac{EI_z}{R^2} \frac{d^2w}{d\theta^2} + \frac{EI_z}{R} \frac{d^2\varphi}{d\theta^2} + \frac{GJ_T}{R} \frac{d^2\varphi}{d\theta^2} + \frac{GJ_T}{R^2} \frac{d^2w}{d\theta^2} = P \sin \theta R^2$$

ここで $\frac{GJ_T}{R} \equiv F_3$, $\frac{EI_y}{R} \equiv F_4$ とおけば、結局 w , φ は

次式 (5.4.3)、(5.4.4) のように求められる。

$$(5.4.3) \quad w = -C_1' R \cos \phi + C_2' R (-\phi \cos \phi + \frac{2F^4}{F^3 + F^4} \sin \phi)$$

$$-C_3 R \sin \phi - C_4 R \{ \phi \sin \phi + \frac{2F^4}{F^3 + F^4} \cos \phi \}$$

$$- \frac{\sin \phi R^3 p}{2F^3} \phi^2 + C_5' \phi + C_6'$$

$$(5.4.4) \quad \varphi = (C_1' + C_2' \phi) \cos \phi + (C_3' + C_4' \phi) \sin \phi$$

$$- \frac{F_3 + F_4}{F_3 F_4} \sin \phi R^3 p$$

ここで C_1, C_2, \dots, C_6 は積分常数

(5) 積分常数の決定

境界条件としては、次の6つを考えておくこととする。

$$(5.5.1) \quad (w)_{\phi=0} = 0 \quad (5.5.2) \quad (\varphi)_{\phi=0} = 0$$

$$(5.5.3) \quad (\frac{dw}{d\phi})_{\phi=0} = 0 \quad (5.5.4) \quad (\frac{d\varphi}{d\phi})_{\phi=\frac{\pi}{2}} = 0$$

$$(5.5.5) \quad (S_z)_{\phi=0} = \frac{1}{2} T \cos \phi + \int_0^{\frac{\pi}{2}} p \sin \phi R d\phi$$

$$(5.5.6) \quad (M_y)_{\phi=0} \cos \phi + (M_x)_{\phi=0} \sin \phi = \frac{m}{2} - \frac{T \cos \phi}{2} R \times$$

$$(1 - \sin \phi) - \int_0^{\frac{\pi}{2}} (p \sin \phi) \{ R \sin(\phi + \theta) - R \sin \phi \} R d\phi$$

以上の境界条件より、いま $\theta_0 = 100^\circ$ 、 $\phi = 15^\circ$ の場合を考えみると、積分常数は次のようになる。

$$C_1' = +0.258819 \frac{F_3 + F_4}{F_3 F_4} R^2 p$$

$$C_2' = + \frac{0.772035F^2_3 + 0.652706F_3 F_4 - 0.119328F^2_4}{\beta} m$$

$$- \frac{0.745728F + 0.938022F_3 F_4 + 0.1922936F^2_4}{\beta} R T$$

$$- \frac{0.353456F + 0.448093F F + 0.0946365F^2}{\beta} R^2 p$$

$$\begin{aligned}
C_3 &= + \frac{-0.772035F + 0.119329FF + 0.772034FF - 0.119328F}{\beta (F_3 + F_4)} m \\
&+ \frac{0.745728F + 1.726556F + 1.215927FF + 0.235099F}{\beta (F+F)} RT \\
&+ \frac{0.353456F + 0.812149FF + 0.5639FF + 0.1052378F}{\beta (F+F)} R^2 p \\
C_4 &= + \frac{0.388931(F+F)}{\beta} m - \frac{(0.375678F + 0.117607F)(F+F)}{\beta} RT \\
&+ \frac{(0.296535F + 0.0794096F)(F_3+F_4)}{\beta} R^2 p \\
C_5 &= + 0.482963 \frac{R^2}{F_3} T + 0.225862 \frac{R^3}{F_3} p \\
C_6 &= + \frac{0.777862(F+F)F}{\beta} Rm - \frac{(0.751356F + 0.235214F)F}{\beta} RT \\
&+ \frac{0.822208F + 1.644417FF + 0.387858F}{\beta} Rp \\
\beta ; \quad F_3 F_4 (3.17677F_3 + 0.88494F_4)
\end{aligned}$$

(6) 断面力の計算結果

$$(5.6.1) \quad S = -F_2 \left\{ -2C_2 \cos\theta - 2C_4 \sin\theta - \frac{3}{4} (f_1 \sin\theta - f_2 \sin\theta) \right. \\ \left. + \frac{\theta}{2} (f_1 \sin\theta + f_2 \cos\theta) \right\}$$

$$(5.6.2) \quad N = +F_2 \left\{ +2C_2 \sin\theta - 2C_4 \cos\theta + \frac{3}{4} (f_1 \sin\theta + f_2 \cos\theta) \right. \\ \left. + \frac{\theta}{2} (f_1 \cos\theta - f_2 \sin\theta) \right\}$$

$$(5.6.3) \quad M_Z = -RF_2 \left\{ -2C_2 \sin\theta + 2C_4 \cos\theta + C_5 - \frac{1}{4} \times \right. \\ \left. (f_1 \sin\theta + f_2 \cos\theta) - \frac{\theta}{2} (f_1 \cos\theta - f_2 \sin\theta) \right\}$$

$$(5.6.4) \quad M_x = + \frac{2F_3 F_4}{F_3 + F_4} (C_2' \cos\theta + C_4' \sin\theta) - 0.2588 \cdot 190 R^2 p \theta + \frac{F}{R} C_5'$$

$$(5.6.5) \quad M_y = + \frac{2F_3 F_4}{F_3 + F_4} (-C_2' \sin\theta + C_4' \cos\theta) - 0.2588 \cdot 190 R^2 p$$

$$(5.6.6) \quad S_z = -0.2588 \cdot 190 R P \theta + \frac{F}{R^2} C_5'$$

(7) 不静定力 m , T の決定

m , T は次の 2 つの条件から決定できる。

$$(5.7.1) \quad (\varphi)_{\theta=0} = 0$$

$$(5.7.2) \quad (w)_{\theta=\frac{\pi}{2}} = (t \tan \varPhi) \quad (v)_{\theta=\frac{\pi}{2}}$$

いま $R = 50 \text{ m}$ 、外径 1 m 、厚さ 3 cm のパイプアーチ構造を考えると

$$m = +5715.0 \text{ p Kg-cm}, \quad T = -11394.7 \text{ p Kg} \text{ となる。}$$

6. アーチの中心方向に分布荷重（橋軸に沿つて烈度 p ）が負載される場合の応力・変形

5. のような計算をした結果を列挙すると次のようになる。

$$(6.1) \quad u = -\frac{R^2}{EA} p \cdot \theta + \frac{2I_Z}{AR^2} (-C_2 \cos\theta - C_4 \sin\theta) + C_3 \sin\theta +$$

$$C_2 (\cos\theta + \theta \sin\theta) - C_3 \cos\theta + C_4 (\sin\theta - \theta \cos\theta) + C_5 \theta + C_6$$

$$(6.2) \quad v = (C_1 + C_2 \theta) \cos\theta + (C_3 + C_4 \theta) \sin\theta + C_5$$

$$(6.3) \quad w = -C_1' R \cos\theta + C_2' R (-\theta \cos\theta + \frac{2F_4}{F_3 + F_4} \sin\theta) - C_3' R \cos\theta - C_4' R (\theta \sin\theta + \frac{2F_4}{F_3 + F_4} \cos\theta) + C_5' \theta + C_6'$$

$$(6.4) \quad \varphi = (C + C \theta) \cos\theta + (C + C \theta) \sin\theta$$

$$\therefore C_1 = -6.1856 \frac{R}{F_4} p - 0.2323 \cdot 0.5 \cdot \frac{1}{F_2} T$$

$$C_2 = +3.68590 \frac{R}{F_1} p + 0.0377616 \frac{1}{F_2} T$$

$$C_3 = -0.839454 \frac{R}{F_1} p - 0.0355525 \frac{1}{F_2} T$$

$$C_4 = -3.09284 \frac{R}{F_1} p - 0.116153 \frac{1}{F_2} T$$

$$C_5 = +6.18567 \frac{R}{F_1} p + 0.232305 \frac{1}{F_2} T$$

$$C_6 = -4.525354 \frac{R}{F_1} p - 0.0733138 \frac{1}{F_2} T$$

$$C_1 = 0 \quad C_2 = + \frac{0.772035F_2^2 + 0.652707F_2F_4 - 0.119328F_4^2}{\beta} m$$

$$- \frac{0.745728F_2^2 + 0.938022F_2F_4 + 0.1922936F_4^2}{\beta} RT$$

$$C_3 = + \frac{-0.772035F_2^2 + 0.119328F_2F_4 + 0.772035F_2F_4^2 - 0.119328F_4^3}{\beta (F_2 + F_4)} m$$

$$m + \frac{0.745728F_2^2 + 1.726556F_2F_4 + 1.215927F_2F_4^2 + 0.235099F_4^3}{\beta (F_2 + F_4)} RT$$

$$C_4 = + \frac{0.388931(F_2 + F_4)^2}{\beta} m$$

$$- \frac{(0.375678F_2 + 0.117607F_4)(F_2 + F_4)}{\beta} RT$$

$$C_5 = + 0.4829629 \frac{R^2}{F_3} T$$

$$C_6 = + \frac{0.777862F_4(F_2 + F_4)}{\beta} R m$$

$$- \frac{(0.751356F_2 + 0.235214F_4)F_4}{\beta} R^2 T$$

$$m = +1956.534PKg - cm \quad T = +3.69545PKg$$

応力関係は省略する。

7. あとがき

支点が固定支承でも、また水平横荷重が負載される場合でも、殆んど同じような考え方で応力・変形は計算できるが、これはまた別の機会に述べることとする。

さいごにこの研究に対し、御指導、御助言をいただいた、東大奥村教授、名工大荒井・岡林教授に深甚なる謝意を表する次第である。

参考文献

- 岡本舜三、「軸線を含む面に垂直なる荷重を受ける
円形曲り梁の研究」 土木学会誌 29巻3号
- 倉西 茂；「水平横荷重を受けるアーチ橋について」
土木学会論文集 73号
- 深沢泰晴；「軸圧縮力を受ける円弧アーチの曲げねじれ座屈に関する
研究」土木学会論文集 96号